

УДК 532.529:534.2

ВОЛНОВАЯ ДИНАМИКА ПОКРЫТЫХ ОБОЛОЧКОЙ ВКЛЮЧЕНИЙ В ВЯЗКОУПРУГОЙ СРЕДЕ

Д. А. Губайдуллин, Ю. В. Федоров

Институт механики и машиностроения — обособленное структурное подразделение
Федерального исследовательского центра “Казанский научный центр РАН”,
420111 Казань, Россия
E-mails: gubaidullin@imm.knc.ru, kopperfildd@ya.ru

Получено модифицированное уравнение Рэлея — Ламба, учитывающее радиальные колебания покрытой вязкоупругой оболочкой капли жидкости, в центре которой находится пузырек газа и которая помещена в вязкоупругую среду. Для случая малых колебаний включения решена задача о теплообмене между газом, жидкой фазой, вязкоупругой оболочкой и несущей жидкостью. Выведено дисперсионное уравнение для пузырьковой среды. Исследовано влияние оболочки включений, вязкоупругости несущей фазы на динамику акустических волн. Проведено сравнение результатов расчетов с экспериментальными данными.

Ключевые слова: акустические волны, пузырьки газа, прослойка жидкости, вязкоупругая оболочка, модифицированное уравнение Рэлея — Ламба, межфазный теплообмен, дисперсионное уравнение.

DOI: 10.15372/PMTF20200403

Введение. Покрытые вязкоупругой оболочкой пузырьки встречаются во многих областях, но основное применение они нашли в биомедицине в качестве контрастных веществ для ультразвуковой диагностики [1, 2]. Существующие теоретические модели основаны на различных формах записи уравнений колебаний сферических пузырьков с учетом упругости, вязкости поверхностного слоя. В работе [3] получено модифицированное уравнение Рэлея — Плессета, учитывающее радиальные колебания газового пузырька с вязкоупругой оболочкой конечной толщины в жидкости на основе реологического уравнения Кельвина — Фойгта, а также проанализировано влияние параметров оболочки на динамику акустических волн. В [4] модель [3] была упрощена для случая, когда толщина вязкоупругой оболочки пузырьков близка к нулю, и теоретически и экспериментально исследовано влияние полимерной оболочки микропузырьков на затухание импульсного возмущения. В работе [5] на основе результатов [3] получена математическая модель, определяющая распространение акустических волн в жидкости с пузырьками газа, покрытыми вязкоупругой оболочкой, в приближении взаимодействующих и взаимопроникающих континуумов [6]. Однако с появлением новых веществ покрытые оболочкой газовые пузырьки реже используются в прикладных исследованиях. В последнее время большой интерес представляет изучение

Работа выполнена при финансовой поддержке Совета по грантам Президента РФ для государственной поддержки молодых российских ученых (грант № МК-297.2020.1) и Российского фонда фундаментальных исследований (код проекта 19-01-00442 А).

© Губайдуллин Д. А., Федоров Ю. В., 2020

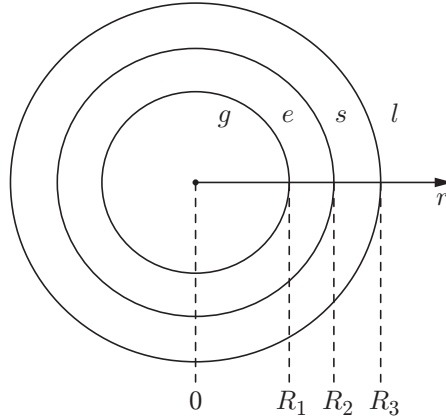


Рис. 1. Схема включения

эмульсий с фазовым сдвигом, обладающих следующей особенностью. Под действием ультразвука внутри капель жидкости образуются пузырьки газа. Этот процесс известен как акустическое испарение капель [7]. Эмульсии с фазовым сдвигом активно используются в газовой эмболотерапии [8–10]. Данный метод направлен на борьбу с раковыми клетками и опухолями. В кровеносные сосуды, питающие раковые клетки, вводятся капли специального вещества, каждая из которых заключена в вязкоупругую биологическую оболочку. Под действием ультразвука внутри капель жидкости образуются пузырьки газа, которые, увеличиваясь, блокируют кровеносные сосуды. В отсутствие кровоснабжения опухоли не могут расти и распространяться, со временем происходит их истощение.

В данной работе исследуются покрытые оболочкой капли жидкости, в центре которых находятся пузырьки газа, а также динамика акустических волн в вязкоупругой среде с данными включениями.

Модифицированное уравнение Рэлея — Ламба. Рассмотрим покрытую вязкоупругой оболочкой каплю жидкости с пузырьком газа в центре, находящуюся в массиве неподвижной вязкоупругой жидкости (рис. 1). Вследствие непроницаемости жидкой оболочки скорость изменения ее радиуса $\dot{R}_1 = dR_1/dt$ совпадает с радиальной скоростью движения на поверхности $u(R_1, t)$. Уравнение неразрывности в сферической системе координат при наличии центральной симметрии запишем следующим образом:

$$\frac{1}{r^2} \frac{d}{dr} (r^2 u) = 0$$

(r — радиальная координата). Решение данного уравнения имеет вид

$$u(r, t) = \frac{R_1^2(t)}{r^2} \dot{R}_1(t). \tag{1}$$

Уравнение сохранения импульса в сферических координатах представим в виде

$$\rho \left(\frac{\partial u}{\partial t} + u \frac{\partial u}{\partial r} \right) = -\frac{\partial p}{\partial r} + \frac{1}{r^2} \frac{\partial}{\partial r} (r^2 \tau_{rr}) - \frac{\tau_{\theta\theta} + \tau_{\varphi\varphi}}{r}, \tag{2}$$

где ρ — плотность; p — давление; τ — компоненты тензора напряжений. В случае сферы компоненты тензора связаны соотношением [11] $\tau_{rr} = -(\tau_{\theta\theta} + \tau_{\varphi\varphi})$. Проинтегрировав уравнение (2) от R_1 до ∞ с учетом (1), получаем

$$\begin{aligned} \rho_s \left(R_1 F \ddot{R}_1 + \frac{4F - H}{2} \dot{R}_1^2 \right) = & p_e(R_1, t) - p_e(R_2, t) + p_s(R_2, t) - p_s(R_3, t) + p_l(R_3, t) - p_\infty + \\ & + \tau_{rr,e}(R_2, t) - \tau_{rr,e}(R_1, t) + \tau_{rr,s}(R_3, t) - \tau_{rr,s}(R_2, t) - \tau_{rr,l}(R_3, t) + \\ & + 3 \int_{R_1}^{R_2} \frac{\tau_{rr,e}}{r} dr + 3 \int_{R_2}^{R_3} \frac{\tau_{rr,s}}{r} dr + 3 \int_{R_3}^{\infty} \frac{\tau_{rr,l}}{r} dr, \quad (3) \end{aligned}$$

где

$$F = \frac{\rho_e}{\rho_s} + \frac{\rho_s - \rho_e}{\rho_s} \frac{R_1}{R_2} + \frac{\rho_l - \rho_s}{\rho_s} \frac{R_1}{R_3}, \quad H = \frac{\rho_e}{\rho_s} + \frac{\rho_s - \rho_e}{\rho_s} \frac{R_1^4}{R_2^4} + \frac{\rho_l - \rho_s}{\rho_s} \frac{R_1^4}{R_3^4},$$

интервал от R_1 до R_2 соответствует параметрам жидкой фазы (индекс e), от R_2 до R_3 — параметрам вязкоупругого слоя (индекс s), от R_3 до ∞ — параметрам несущей жидкости (индекс l).

Граничные условия в области между двумя движущимися средами с учетом сил поверхностного натяжения [11] принимают вид

$$p_e(R_1, t) - p_g(R_1, t) + 2\sigma_1/R_1 = \tau_{rr,e}(R_1, t) - \tau_{rr,g}(R_1, t); \quad (4)$$

$$p_s(R_2, t) - p_e(R_2, t) + 2\sigma_2/R_2 = \tau_{rr,s}(R_2, t) - \tau_{rr,e}(R_2, t); \quad (5)$$

$$p_l(R_3, t) - p_s(R_3, t) + 2\sigma_3/R_3 = \tau_{rr,l}(R_3, t) - \tau_{rr,s}(R_3, t) \quad (6)$$

(σ — коэффициент поверхностного натяжения). В случае если касательные напряжения отсутствуют ($\tau_{rr} = 0$), имеет место простое уравнение Лапласа [12]. Компоненты тензора напряжений для жидкости и газа задаются следующим образом:

$$\tau_{rr,e} = 2\mu_e \frac{\partial u}{\partial r}, \quad \tau_{rr,g} = 2\mu_g \frac{\partial u}{\partial r} \quad (7)$$

(μ — динамическая вязкость). Заметим, что порядок величины $\tau_{rr,g}$ меньше, чем порядок $\tau_{rr,l}$, поскольку вязкость газа меньше вязкости жидкости, поэтому далее данной величиной можно пренебречь. Вязкоупругость несущей среды учитывается при использовании реологической модели Кельвина — Фойгта, поэтому тензор напряжений задается соотношением [13]

$$\tau_{rr,l} = -\frac{4R_3^2}{r^3} \left(\frac{G_l R_3}{3} \left(1 - \frac{R_{30}^3}{R_3^3} \right) + \mu_l \dot{R}_3 \right). \quad (8)$$

Аналогичным образом задается тензор напряжений для вязкоупругой оболочки пузырька [3]:

$$\tau_{rr,s} = -4R_2^2 [G_s(R_2 - R_{e2}) + \mu_s \dot{R}_2] / r^3, \quad (9)$$

где

$$R_{e2} = R_{20}(1 + Z), \quad Z = \frac{1}{4G_s} \frac{R_{30}^3}{V_s} \left(\frac{2\sigma_2}{R_{20}} + \frac{2\sigma_3}{R_{30}} \right), \quad V_s = R_{30}^3 - R_{20}^3.$$

С учетом (4)–(9) и условия несжимаемости оболочки $R_1^2 \dot{R}_1 = R_2^2 \dot{R}_2$ после алгебраических преобразований уравнение (3) принимает вид

$$\begin{aligned} \rho_s \left(R_1 F \ddot{R}_1 + \frac{4F - H}{2} \dot{R}_1^2 \right) = & p_g - p_\infty - \frac{2\sigma_1}{R_1} - \frac{2\sigma_2}{R_2} - \frac{2\sigma_3}{R_3} - 4 \frac{G_s V_s}{R_3^3} \left(1 - \frac{R_{e2}}{R_2} \right) - \\ & - 4 \frac{\dot{R}_1}{R_1} \left(\mu_l \frac{R_1^3}{R_3^3} + \mu_e \left(1 - \frac{R_{10}^3}{R_3^3} \right) + \mu_s V_s \frac{R_1^3}{R_2^3 R_3^3} \right) - \frac{4G_l}{3R_3^3} (R_3^3 - R_{30}^3). \quad (10) \end{aligned}$$

Линеаризуя полученное модифицированное уравнение Рэлея — Ламба (10), получаем $\psi = \psi_0 + \psi'$, $\psi' \ll \psi_0$, где $\psi = (R_1, R_2, R_3, p)$. Учитывая условие несжимаемости оболочки $R_1^2 \dot{R}_1 = R_2^2 \dot{R}_2 = R_3^2 \dot{R}_3$, находим связь между возмущениями $R_{30}^2 R'_3 = R_{20}^2 R'_2 = R_{10}^2 R'_1$. Тогда линеаризованное уравнение (10) принимает вид

$$\ddot{R}'_1 + (\delta_l + \delta_e + \delta_s) \dot{R}'_1 + X R'_1 = \frac{p'_g - p'_\infty}{\rho_s \eta R_{10}}, \quad (11)$$

где

$$\begin{aligned} \delta_l &= \frac{4\mu_l}{\rho_s \eta R_{10}^2} \frac{R_{10}^3}{R_{30}^3}, \quad \delta_e = \frac{4\mu_e}{\rho_s \eta R_{10}^2} \left(1 - \frac{R_{10}^3}{R_{20}^3}\right), \quad \delta_s = \frac{4\mu_s V_s}{\rho_s \eta R_{10}^2} \frac{R_{10}^3}{R_{20}^3 R_{30}^3}, \\ \eta &= \frac{\rho_e}{\rho_s} + \frac{\rho_s - \rho_e}{\rho_s} \frac{R_{10}}{R_{20}} + \frac{\rho_l - \rho_s}{\rho_s} \frac{R_{10}}{R_{30}}, \\ X &= \frac{1}{\rho_s \eta R_{10}^2} \left\{ \frac{4V_s G_s R_{10}^3}{R_{20}^3 R_{30}^3} \left[1 + Z \left(1 + 3 \frac{R_{20}^3}{R_{30}^3}\right)\right] + \frac{4G_l R_{10}^3}{R_{30}^3} - \frac{2\sigma_1}{R_{10}} - \frac{2\sigma_2 R_{10}^3}{R_{20}^4} - \frac{2\sigma_3 R_{10}^3}{R_{30}^4} \right\}. \end{aligned}$$

В случае если жидкая фаза и вязкоупругая оболочка пузырька отсутствуют ($R_{30} = R_{20} = R_{10}$, $\rho_l = \rho_s = \rho_e$) и не учитывается упругость несущей фазы ($G_l = 0$), а также поверхностное натяжение, имеем $\delta_s = 0$, $\delta_e = 0$, $X = 0$, и уравнение Рэлея принимает стандартный вид.

Межфазный теплообмен. Для учета межфазного теплообмена уравнения теплопроводности для газа, жидкой фазы и вязкоупругой оболочки [6, 14] представим в виде

$$\rho_g c_{pg} \frac{dT_g}{dt} = \frac{1}{r^2} \frac{\partial}{\partial r} \left(\lambda_g r^2 \frac{\partial T_g}{\partial r} \right) + \frac{dp_g}{dt}, \quad 0 < r < R_1; \quad (12)$$

$$\rho_e c_{pe} \frac{dT_e}{dt} = \lambda_e \frac{\partial^2 T_e}{\partial r^2}, \quad R_1 < r < R_2; \quad (13)$$

$$\rho_s c_{ps} \frac{dT_s}{dt} = \lambda_s \frac{\partial^2 T_s}{\partial r^2}, \quad R_2 < r < R_3. \quad (14)$$

Здесь c_p — удельная теплоемкость; λ — теплопроводность. В отсутствие внешнего подвода тепла среднемассовую температуру несущей жидкости будем считать постоянной: $T_l = T_0 = \text{const}$. В уравнении (12) давление p_g полагается только функцией времени $p_g(t)$, т. е. выполняется условие гомобаричности [6]. Данное предположение позволит избежать решения уравнения движения газа внутри пузырька и таким образом упростить систему уравнений. При постановке задачи необходимо задать граничные условия, для температур имеющие вид

$$r = 0: \quad \frac{\partial T_g}{\partial r} = 0, \quad r = R_1: \quad T_g = T_e, \quad \lambda_g \frac{\partial T_g}{\partial r} = \lambda_e \frac{\partial T_e}{\partial r}; \quad (15)$$

$$r = R_2: \quad T_e = T_s, \quad \lambda_e \frac{\partial T_e}{\partial r} = \lambda_s \frac{\partial T_s}{\partial r}, \quad r = R_3: \quad T_s = T_0 = \text{const}. \quad (16)$$

Первое условие в (15) означает отсутствие потока тепла в центр сферического пузырька, остальные условия в (15), (16) характеризуют равенство температур и потоков на границах. Решение задачи (12)–(16) для случая колебаний пузырька с малой амплитудой находим в виде действительных частей комплексных функций

$$T_j = T_0 + T'_j e^{i\omega t}, \quad j = g, e, s, \quad p_g = p_0 + p'_g e^{i\omega t}, \quad (17)$$

где ω — частота возмущений. Подставляя решение (17) в уравнение (12), получаем

$$\frac{\partial^2 T'_g}{\partial r^2} + \frac{2}{r} \frac{\partial T'_g}{\partial r} - \frac{i\omega}{\chi_g} T'_g = -\frac{i\omega}{\lambda_g} p'_g, \quad \chi_g = \frac{\lambda_g}{\rho_g c_{pg}}. \quad (18)$$

Общее решение дифференциального уравнения второго порядка (18) можно получить в виде суммы частного решения $T'_g = \varkappa_g p'_g / \lambda_g$ и линейной комбинации двух независимых решений однородного уравнения

$$T'_g = \frac{\varkappa_g}{\lambda_g} \left(1 + G_1 \frac{\text{sh}(rY_g)}{r} + G_2 \frac{\text{ch}(rY_g)}{r} \right) p'_g, \quad Y_g = \sqrt{\frac{i\omega}{\varkappa_g}}$$

(G_1, G_2 — неизвестные переменные). Аналогичным образом находим решения уравнений (13), (14)

$$\begin{aligned} T'_e &= E_1 \text{sh}[(r - R_{10})Y_e] + E_2 \text{ch}[(r - R_{10})Y_e], & Y_e &= \sqrt{i\omega/\varkappa_e}, \\ T'_s &= S_1 \text{sh}[(r - R_{20})Y_s] + S_2 \text{ch}[(r - R_{20})Y_s], & Y_s &= \sqrt{i\omega/\varkappa_s}. \end{aligned}$$

Неизвестные переменные $G_1, G_2, E_1, E_2, S_1, S_2$ находим из граничных условий (15), (16). Получаем интеграл энергии для пузырька газа. В предположении, что область внутри пузырька заполнена совершенным газом, уравнение состояния записываем в виде

$$p_g = \rho_g R T_g = \frac{\gamma - 1}{\gamma} c_{pg} \rho_g T_g \quad (19)$$

(R — газовая постоянная; γ — показатель адиабаты).

Уравнение неразрывности в сферических координатах имеет вид

$$\frac{d\rho_g}{dt} + 2 \frac{\rho_g u(R_1, t)}{r} = 0. \quad (20)$$

Дифференцируя уравнение (19) по времени t с учетом (20), находим

$$\frac{dp_g}{dt} = \frac{\gamma - 1}{\gamma} \rho_g c_{pg} \frac{dT_g}{dt} - 2 \frac{p_g u(R_1, t)}{r}. \quad (21)$$

Интегрируя уравнение притока тепла для газовой фазы (12) от 0 до R_{10} с учетом (21), получаем линеаризованный интеграл энергии

$$\frac{dp'_g}{dt} = -\frac{3\gamma p_{g0}}{R_{10}} u'(R_1, t) + 3 \frac{\gamma - 1}{R_{10}} \lambda_g \left(\frac{\partial T'_g}{\partial r} \right) \Big|_{r=R_{10}}.$$

Подставляя выражение для $(\partial T'_g / \partial r)|_{r=R_{10}}$, находим

$$\frac{dp'_g}{dt} = -\frac{3\gamma p_{g0}}{R_{10}} \frac{dR'_1}{dt} - 3i\omega p'_g (\gamma - 1) \frac{y_g \text{cth } y_g - 1}{y_g^2} \Psi; \quad (22)$$

$$\Psi = \left(1 + \frac{\lambda_g r_e \theta_2}{y_e \lambda_e R_{10}} \frac{y_g \text{cth } y_g - 1}{\theta_1} \right)^{-1},$$

$$\theta_1 = 1 + \frac{\lambda_s y_s r_e}{\lambda_e y_e r_s} \text{cth } y_s \text{cth } y_e, \quad \theta_2 = \text{cth } y_e + \frac{\lambda_s y_s r_e}{\lambda_e y_e r_s} \text{cth } y_s,$$

$$y_g = \sqrt{\frac{i\omega R_{10}^2}{\varkappa_g}}, \quad y_e = \sqrt{\frac{i\omega r_e^2}{\varkappa_e}}, \quad y_s = \sqrt{\frac{i\omega r_s^2}{\varkappa_s}}, \quad r_e = R_{20} - R_{10}, \quad r_s = R_{30} - R_{20}.$$

Здесь r_e — толщина внутреннего слоя жидкой фазы; r_s — толщина вязкоупругой оболочки.

Дисперсионное уравнение. Представим решения уравнений (11), (22) в виде бегущих волн $R'_1 = \Delta R e^{i\omega t}$, $p' = \Delta p e^{i\omega t}$ (ΔR , Δp — амплитуды волн). Тогда

$$(-\omega^2 + i\omega(\delta_l + \delta_e + \delta_s) + X)\Delta R = \frac{\Delta p_g - \Delta p_\infty}{\eta R_{10} \rho_s}; \quad (23)$$

$$\Delta p_g = -\frac{p_{g0}}{R_{10}} \Phi \Delta R, \quad \Phi = \frac{3\gamma}{1 + 3(\gamma - 1)\Psi(y_g \operatorname{cth} y_g - 1)/y_g^2}. \quad (24)$$

Подставляя выражение (24) в уравнение (23) и учитывая, что $\Phi = \operatorname{Re} \Phi + i \operatorname{Im} \Phi$, получаем

$$\Delta R = -\frac{1}{\omega_0^2 + i\omega\delta - \omega^2} \frac{\Delta p_\infty}{\rho_s \eta R_{10}}; \quad (25)$$

$$\delta = \delta_l + \delta_e + \delta_s + \delta_t + \delta_a, \quad \delta_t = \frac{1}{\rho_s \eta R_{10}^2} \frac{p_{g0}}{\omega} \operatorname{Im} \Phi, \quad \delta_a = \frac{\omega^2 R_{30}}{C_1};$$

$$\omega_0^2 = X + \frac{p_{g0} \operatorname{Re} \Phi}{\rho_s \eta R_{10}^2} = X + \frac{3\gamma p_{g0}}{\rho_s \eta R_{10}^2}. \quad (26)$$

Здесь C_1 — скорость звука в несущей фазе; ω_0 — резонансная частота включения; δ — диссипативный параметр; δ_l , δ_e — вязкость жидкости; δ_s — вязкоупругость оболочки; δ_t , δ_a — тепловые и акустические потери. Заметим, что в случае если вязкоупругая оболочка и прослойка жидкости отсутствуют, а также пренебрегается эффектами поверхностного натяжения $X = 0$, $\rho_l = \rho_s$, выражение для резонансной частоты переходит в выражение для частоты Миннарта

$$\omega_0^2 = \frac{3\gamma p_{g0}}{\rho_l R_{10}^2}.$$

Запишем волновое уравнение для пузырьковой жидкости [15]:

$$\frac{1}{C_1^2} \frac{\partial^2 p_\infty}{\partial t^2} - \frac{\partial^2 p_\infty}{\partial x^2} = 4\pi \rho_l \int_0^\infty R_{10}^2 \ddot{R}_1 f dR_{10}, \quad (27)$$

где f — функция распределения пузырьков по размерам. С учетом $\ddot{R}_1 = -\omega^2 \Delta R$, $\partial^2 p_\infty / \partial t^2 = -\omega^2 \Delta p_\infty$ и выражения (25) уравнение (27) принимает вид

$$\frac{\partial^2 \Delta p_\infty}{\partial x^2} + K_*^2 \Delta p_\infty = 0, \quad K_*^2 = \frac{\omega^2}{C_1^2} + \frac{4\pi \rho_l \omega^2}{\rho_s} \int_0^\infty \frac{R_{10} f dR_{10}}{(\omega_0^2 + i\omega\delta - \omega^2)\eta} \quad (28)$$

(K_* — комплексное волновое число). Уравнение (28) представляет собой дисперсионное уравнение, характеризующее распространение акустической волны в рассматриваемой полидисперсной пузырьковой среде при следующих предположениях: $r_e \ll R_{10}$, $r_s \ll R_{10}$. Выбирая $f = n\delta(R - R_{10})$ (δ — функция Дирака; $n = 3\alpha/(4\pi R_{10}^3)$ — количество включений в единице объема; α — объемная доля пузырьков), интеграл в (28) можно опустить и включения считать монодисперсными.

В случае предельного перехода $\omega \rightarrow 0$ из дисперсионного соотношения (28) получаем выражение для равновесной (низкочастотной) скорости звука

$$\frac{1}{C_e^2} = \frac{1}{C_1^2} + \frac{3\alpha(1 - \alpha)\rho_l}{3\gamma p_0 + \rho_s \eta R_{10}^2 X}.$$

В случае газовых пузырьков без оболочек $X = 0$ выражение для равновесной скорости звука принимает вид [6]

$$\frac{1}{C_e^2} = \frac{1}{C_1^2} + \frac{\alpha(1-\alpha)\rho_l}{\gamma p_0}.$$

Результаты расчетов. В работе [16] представлены результаты измерения зависимости фазовой скорости и коэффициента затухания от частоты возмущений в вязкоупругой среде с полидисперсными воздушными пузырьками. В качестве несущей среды был выбран полидиметилсилоксан (PDMS RTV-615). Построена функция распределения пузырьков по размерам

$$f(R_{10}) = \frac{N_0}{\sqrt{2\pi} \varepsilon R_{10}} \exp\left(-\frac{(\ln(R_{10}/a_0))^2}{2\varepsilon^2}\right),$$

где $N_0 = 3\alpha/[4\pi a_0^3 e^{9\varepsilon^2/2}]$; $a_0 = 0,15 \cdot 10^{-3}$ м; $\varepsilon = 0,25$; радиус пузырьков меняется в диапазоне $R_{10} = (0,05 \div 0,35) \cdot 10^{-3}$ м; объемная доля пузырьков равна $\alpha = 0,02$. В расчетах, проводившихся с помощью дисперсионного уравнения (28), использовались следующие значения теплофизических параметров при $p_0 = 0,1$ МПа, $T_0 = 300$ К: для воздуха $\rho_g = 1,3$ кг/м³, $\gamma = 1,4$, $\lambda_g = 0,0026$ Вт/(м·К), $c_{pg} = 1006$ Дж/(кг·К); для полидиметилсилоксана $C_l = 1020$ м/с, $\rho_l = 965$ кг/м³, $G_l = (0,6 + 0,7f)$ МПа (f — частота возмущений, МГц) [16]; для резиновой оболочки пузырьков $\rho_s = 1476$ кг/м³, $\lambda_s = 0,048$ Вт/(м·К), $\varkappa_s = 1,49 \cdot 10^{-7}$ м²/с, $\mu_s = 0,99$ Па·с, $G_s = 52 \cdot 10^6$ Па [17].

На рис. 2 представлены зависимости фазовой скорости $C_p = \omega / \operatorname{Re} K_*$ и коэффициента затухания $K_{**} = \operatorname{Im} K_*$ от частоты возмущений f при толщине вязкоупругой оболочки $r_s = 1,6 \cdot 10^{-5}$ м и отсутствии жидкого слоя ($r_e = 0$). Для вязкоупругой среды с воздушными пузырьками проведено сравнение результатов расчетов с экспериментальными данными [16] (кривая 2). На рис. 2 видно, что учет модуля сдвига несущей фазы приводит к увеличению резонансной частоты возмущений, что также подтверждают экспериментальные данные. В отсутствие слоя жидкости и оболочки пузырьков ($R_{10} = R_{20} = R_{30}$,

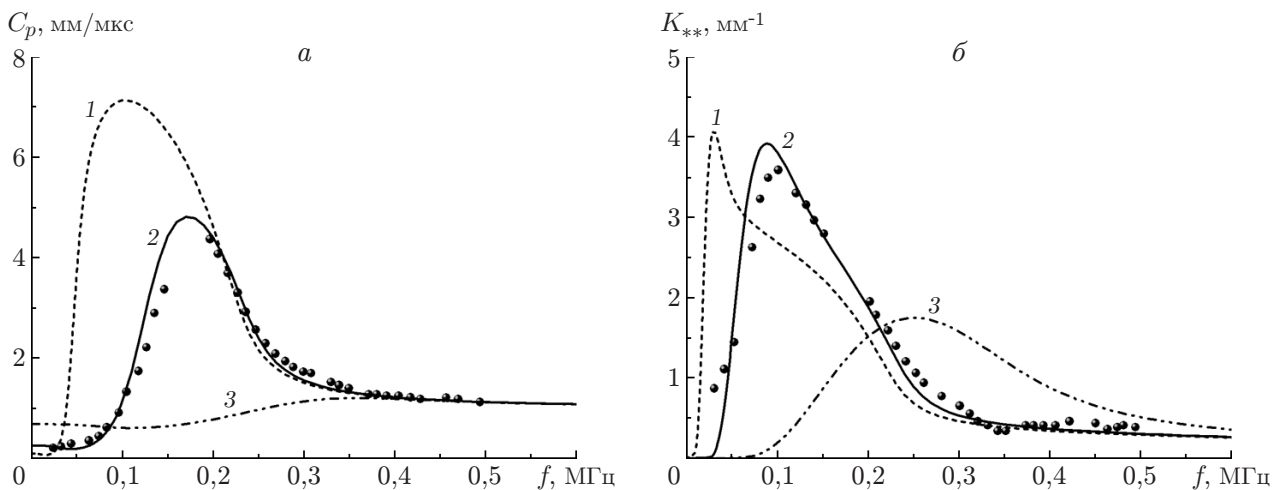


Рис. 2. Зависимости фазовой скорости (а) и коэффициента затухания (б) от частоты возмущений для полидиметилсилоксана с воздушными пузырьками: 1 — без учета модуля сдвига несущей среды, 2 — с учетом модуля сдвига несущей среды, 3 — с учетом модуля сдвига несущей среды и при наличии вязкоупругой оболочки пузырьков; точки — экспериментальные данные [16]

$\rho_l = \rho_e = \rho_s$), а также в пренебрежении поверхностным натяжением из формулы (26) для резонансной частоты включений получаем

$$\omega_0^2 = \frac{1}{R_{10}^2} \frac{3\gamma p_0 + 4G_l}{\rho_l}. \quad (29)$$

Из формулы (29) следует, что в случае вязкоупругой среды резонансная частота пузырьков превышает частоту Миннарта на величину $4G_l/(\rho_l R_{10}^2)$. Учет наличия вязкоупругой оболочки приводит к еще большему увеличению резонансной частоты (кривая 3). Наличие оболочки у пузырьков может привести также к исчезновению полосы непрозрачности у фазовой скорости (фазовая скорость не превышает скорости звука в несущей фазе во всем диапазоне частот) и уменьшению максимального значения коэффициента затухания. Это обусловлено тем, что оболочка пузырьков сдерживает пульсации включений. Пузырьки ведут себя как упругие частицы и вследствие этого акустическая волна рассеивается менее существенно по сравнению с обычными пузырьковыми средами.

Заключение. Результаты проведенных расчетов показывают, что наличие вязкоупругой оболочки пузырьков и учет модуля сдвига несущей фазы приводят к увеличению резонансной частоты включений, уменьшению максимального значения коэффициента затухания и исчезновению полосы непрозрачности у фазовой скорости.

ЛИТЕРАТУРА

1. **Goldberg B. B.** Ultrasound contrast agents. Basic principles and clinical applications / B. B. Goldberg, J. S. Raichlen, F. F. Editors. N. Y.: Martin Dunitz, 2001.
2. **Sboros V.** Response of contrast agents to ultrasound // *Adv. Drug Delivery Rev.* 2008. V. 60. P. 1117–1136.
3. **Church C. C.** The effects of an elastic solid surface layer on the radial pulsations of gas bubbles // *J. Acoust. Soc. Amer.* 1995. V. 97. P. 1510–1521.
4. **Hoff L., Sontum P. C., Novem J. M.** Oscillations of polymeric microbubbles: Effects of the encapsulating shell // *J. Acoust. Soc. Amer.* 2000. V. 107. P. 2272–2280.
5. **Губайдуллин Д. А., Федоров Ю. В.** Акустические волны в жидкости с пузырьками газа, покрытыми вязкоупругой оболочкой // *Изв. РАН. Механика жидкости и газа.* 2019. № 2. С. 126–133.
6. **Нигматулин Р. И.** Динамика многофазных сред. М.: Наука, 1987.
7. **Kripfgans O. D., Fowlkes J. B., Miller D. L., et al.** Acoustic droplet vaporization for therapeutic and diagnostic applications // *Ultrasound Med. Biol.* 2000. V. 26. P. 1177–1189.
8. **Bull J. L.** The application of microbubbles for targeted drug delivery // *Expert. Opin. Drug Delivery.* 2007. V. 4. P. 475–493.
9. **Bull J. L.** Cardiovascular bubble dynamics // *Critical Rev. Biomed. Engng.* 2005. V. 33. P. 299–346.
10. **Qamar A., Wong Z. Z., Fowlkes J. B., Bull J. L.** Dynamics of acoustic droplet vaporization in gas embolotherapy // *Appl. Phys. Lett.* 2010. V. 96. 143702.
11. **Ландау Л. Д.** Теоретическая физика: В 10 т. Т. 6. Гидродинамика / Л. Д. Ландау, Е. М. Лифшиц. М.: Наука, 1986.
12. **Петров А. Г.** Аналитическая гидродинамика. М.: Физматлит, 2010.
13. **Yang X., Church C. C.** A model for the dynamics of gas bubbles in soft tissue // *J. Acoust. Soc. Amer.* 2005. V. 118. P. 3595–3606.
14. **Ландау Л. Д.** Теоретическая физика: В 10 т. Т. 7. Теория упругости / Л. Д. Ландау, Е. М. Лифшиц. М.: Наука, 1986.

15. **Commander K. W., Prosperetti A.** Linear pressure waves in bubbly liquids: Comparison between theory and experiments // J. Acoust. Soc. Amer. 1989. V. 85. P. 732–746.
16. **Leroy V., Strybulevich A., Page J. H., Scanlon M. G.** Influence of positional correlations on the propagation of waves in a complex medium with polydisperse resonant scatterers // Phys. Rev. E. 2011. V. 83. 046605.
17. **Sarkar K., Shi W. T., Chatterjee D., Forsberg F.** Characterization of ultrasound contrast microbubbles using in vitro experiments and viscous and viscoelastic interface models for encapsulation // J. Acoust. Soc. Amer. 2005. V. 118. P. 539–550.

*Поступила в редакцию 13/IV 2020 г.,
после доработки — 13/IV 2020 г.
Принята к публикации 27/IV 2020 г.*
